

تفسیر محیط رسوی دریاچه حوض سلطان در هولوسن با استفاده از مغذه‌های رسوی

سعید رضاییان لنگرودی^{۱*}، راضیه لک^۲، فرج الله فیاضی^۳

۱- کارشناس ارشد رسوی‌شناسی و سنگ‌شناسی رسوی، دانشگاه تربیت معلم تهران

۲- هیات علمی پژوهشکده علوم زمین، سازمان زمین‌شناسی و اکتشافات معدنی کشور

۳- هیات علمی گروه زمین‌شناسی، دانشگاه تربیت معلم تهران

saeedsediment@yahoo.com*

دریافت: ۹۰/۸/۸ پذیرش: ۹۰/۱۱/۲۴

چکیده

پلایای حوض سلطان با گستره آبگیر حدود ۱۹۵ کیلومترمربع و عمق ۲۰-۵۰ سانتی‌متر، در ۸۵ کیلومتری جنوب غرب تهران واقع شده است. این پژوهش با هدف تعیین اقلیم و تغییرات تراز آب این دریاچه در هولوسن با مطالعه مغذه‌های رسوی انجام گرفت. در این راسته، تعداد ۹ مغذه به طول بیشینه ۷ متر از بستر دریاچه تهیه گردید و بررسی‌های رخساره‌ای از قبیل ویژگی‌های رسوی، محتوای ماده آلی، رنگ، حضور کانی‌های تبخیری مورد بررسی قرار گرفت و زیر محیط رسوی آن تعیین گردید. تعداد ۱۵۵ نمونه از رخساره‌های رسوی مختلف تهیه و مورد آنالیز دانه‌بندی و کانی‌شناسی (XRD) قرار گرفتند. بررسی‌ها نشان می‌دهد که ۵ زیرمحیط رسوی شامل پنهان ماسه ای، پنهان گلی، پنهان نمکی، پنهان نمکی و دریاچه موقتی در این ۹ مغذه وجود دارد. رسوبات این دریاچه از نظر اندازه، ۵ تیپ رسوی شامل گل ماسه‌ای با کمی گراول، ماسه گلی با کمی گراول، گل، گل ماسه‌ای و ماسه گلی می‌باشد. زیرمحیط‌های رسوی مغذه HS2 در شمال شرق عمدتاً مربوط به پنهان گلی نمکی و HS1 در غرب دریاچه عمدتاً مربوط به پنهانه‌های گلی می‌باشد. همچنین، تغییرات تراز آب دریاچه در هولوسن در طول مغذه‌ها ترسیم گردید و رسوبات مربوط به دوره‌های خشکسالی و تراسالی تفکیک گردید. نتایج، حاکی از ۶ مرحله عمده خشکسالی حاکم بر منطقه می‌باشد. لذا، دریاچه در چند هزار سال اخیر همواره دستخوش دوره‌های پرآبی و کم‌آبی بوده است. تغییر اقلیم کنونی کره زمین سبب خشکشدن بیشتر دریاچه در سال‌های اخیر نگردیده است و این دوره‌های تراسالی و خشک سالی به تناوب تکرار گردیده است.

واژه‌های کلیدی: حوض سلطان، پلایا، مغذه، تراز آب، رخساره

مقدمه

هستند که تبخیر ناشی از آن سبب تخلیه آب و تشکیل کانی‌های تبخیری می‌گردد [۲۴، ۲۵، ۲۶]. اهداف این مطالعه شامل معرفی زیرمحیط‌های رسوی پلایای حوض سلطان و تفکیک آن‌ها براساس شواهد موجود؛ بررسی ویژگی‌های رسوی و تغییرات رخساره‌ای رسوبات هولوسن دریاچه؛ شناسایی انواع کانی‌های موجود در پلایای حوض سلطان و گسترش آن‌ها در بخش‌های مختلف دریاچه؛ بررسی نوسانات تراز آب دریاچه از گذشته و نهایتاً تعیین دوره‌های خشکسالی و تراسالی منطقه می‌باشد.

موقعیت جغرافیایی

دریاچه حوض سلطان با روند NE-SW تقریباً در ۴۰ کیلومتری شمال شهر قم و ۸۵ کیلومتری جنوب تهران در شرق آزادراه تهران-قم بین عرض‌های ۳۱° ۳۵' و

رسوبات موجود در حوضه‌های دریاچه‌ای، الگوهای متغیری در گذر زمان از خود نشان می‌دهند [۱۴، ۱۵، ۲۸]. این رسوبات، نگاشت‌های ارزشمندی از تاریخچه فیزیکی، شیمیایی و الگوهای رخساره‌ای آن می‌باشد [۱۱، ۲۲، ۲۷، ۲۰، ۱۶]. این تاریخچه توسط عوامل خارجی (تغییرات آب و هوایی، تغییرات زهکشی و تکتونیک حوضه) و داخلی (فرآیندهای زیستی، شدت باد/موج) تحت تاثیر قرار می‌گیرد [۱۰]. تغییرات در تاریخچه فیزیکی و شیمیایی دریاچه اغلب تغییرات قابل مشاهده‌ای در رسوب‌گذاری را فراهم می‌کند که می‌توان از آن برای تفسیر فرآیندها و محیط‌های رسوی گذشته استفاده نمود [۷]. پلایا را می‌توان یک حوضه خشک درون قلرهای با تراز آب منفی در نظر گرفت که بیش از ۳/۴ زمان سال خشک بوده و حواشی موینگی آن به قدری به سطح زمین نزدیک

دست آمده تعداد ۱۵۵ نمونه تهیه گردید. ابتدا رخسارهای رسوی با توجه به ویژگی‌های رخسارهای قابل مشاهده از قبیل اندازه دانه، رنگ، محتوای فسیلی و ماده آلت تعیین و زیرمحیط رسوی هر رخساره مشخص گردید و در نهایت توصیف کاملی از هر رخساره ارائه شد. رخسارهای مغزه‌ها با هم مقایسه و تغییرات رخسارهای براساس محیط رسوی آن‌ها مورد تجزیه و تحلیل قرار گرفت و نوع رخساره با توجه به عمق آب تعیین گردید. نمونه‌ها در آزمایشگاه در دمای ۶۰ درجه سانتیگراد برای مدت ۴۸ ساعت در کوره خشک شدند. نمونه‌های تهیه شده مورد آنالیز دانه‌بندی قرار گرفتند. آنالیز دانه‌بندی ذرات بزرگ‌تر از ۶۳ میکرون توسط دستگاه الکشیکر Vibratory sieve shaker Analysette19) کوچک‌تر از ۶۳ میکرون (سیلت و رس) توسط دستگاه Analysette Laser particle sizer(دانه‌بندی لیزری) ۲۲) ساخت شرکت فریچ آلمان انجام شد. همچنین، تعداد ۱۵۵ نمونه توسط دستگاه X-ray diffraction (XRD) مدل Phillips و با مشخصات تیوب نوع مس (Cu=1.54 Å)، ولتاژ ۴۰ کیلو ولت، شدت جریان ۴۰ میلی آمپر و زاویه پراش برابر ۴-۷۰ درجه مورد آنالیز قرار گرفتند. پس از تهیه منحنی‌های دانه‌بندی بر حسب فی و میلی-متر، از سیستم فولک و همکاران (۱۹۷۰) برای نامگذاری رسوبات بر اساس اندازه ذرات و تعیین نوع رسوبات استفاده شد. تمام آنالیزها در آزمایشگاه سازمان زمین‌شناسی و اکتشافات معدنی کشور انجام گرفته است [۱۳].

زیرمحیط‌های رسوی

زیرمحیط‌های رسوی یک دریاچه شور یا پلایا از ارتفاعات به سمت مرکز حوضه شامل مخروطافکنه و پهنه ماسه‌ای، پهنه‌گلی، پهنه گلی‌نمکی، پهنه نمکی، دریاچه موقت و دریاچه دائمی می‌باشد [۲۱و ۲۲]. شکل ۲، زیرمحیط‌های رسوی دریاچه حوض سلطان را نشان می‌دهد. لازم به ذکر است که محدوده‌های تعیین شده فقط برای یک زمان خاص معتبر است، زیرا وسعت محدوده‌ها بر حسب شرایط اقلیمی در زمان‌های مختلف، متغیر می‌باشد. محدوده پهنه ماسه‌ای، اطراف دریاچه به سمت جنوب را دربرمی‌گیرد. رسوبات این پهنه غالباً در اندازه ماسه ریز تا متوسط می‌باشد. تقریباً ۶۰-۷۰ درصد این پهنه ترکیبی

۵۱° ۴۳° شمالی و طول‌های ۵۰° ۵۳° و ۲۰° شرقی قرار گرفته است [۱۲]. این دریاچه، در شمال و شمال شرق توسط کوههای علی‌آباد و کوشک نصرت، در غرب توسط کوههای منظریه و چاهار و در جنوب شرق توسط کوههای محمدآباد و بادامچه محدود می‌شود (شکل ۱). منطقه مورد مطالعه بر اساس تقسیم‌بندی آقاباتی، در زون ایران مرکزی قرار دارد [۱]. رخمنون‌های بالادست دریاچه حوض سلطان که برروی نوع رسو و هیدروشمیمی دریاچه تاثیرگذار هستند و کوههای شمال، شمال شرق و غرب را شامل می‌گردند، عمدتاً ترکیبی از سنگ‌های آتشفشانی اوسنن هستند. در شرق دریاچه، ارتفاعات مشخصی به چشم نمی‌خورد و فقط توده‌های آبرفتی مسیلهای انتهایی رودخانه‌های شور و قره‌چای دشت کم ارتفاعی را بین فرورفتگی حوض سلطان و دریای نمک قم ایجاد می‌کند. این دریاچه با مساحت تقریبی ۱۹۵ کیلومتر مربع، عمق ۵۰-۲۰ سانتی‌متر، وسعت حوضه آبخیز ۲۱۰۲ کیلومترمربع و گستره آبگیر دریاچه ۶۰۰-۵۰۰ کیلومترمربع شامل دو چاله جدا از هم یکی به نام "حوض سلطان" و دیگری به نام "حوض مرده" می‌باشد که توسط آبراهه‌ی باریکی به هم وصل می‌شوند. حوضه‌ی غربی (حوض سلطان) دارای بلندی ۸۰۶ متر از سطح دریا است که به طور معمول از رواناب‌های سطحی تغذیه می‌شود. حوضه شرقی (حوض مرده)، آب خود را از کوهستان‌های موجود در امتداد حاشیه شمالی، از شمالی ترین شاخه‌های مخروطافکنه رودخانه‌شور و از انشعبات شمالی رودخانه قره‌چای دریافت می‌کند [۱۸]. دریاچه حوض سلطان مشابه بسیاری از حوضه‌های دریاچه‌ای دیگر از قبیل دریاچه ارومیه، دریاچه مهارلو، حوضه‌های نمکی تریاک در بریتانیا و رسوبات نمکی ترشیاری در فرانسه و آلمان بصورت یک فروافتادگی در نتیجه گسل خورددگی بلوک‌های گسلی (فعالیت گسل کوشک نصرت و شاخه‌های فرعی آن) تشکیل شده است [۶].

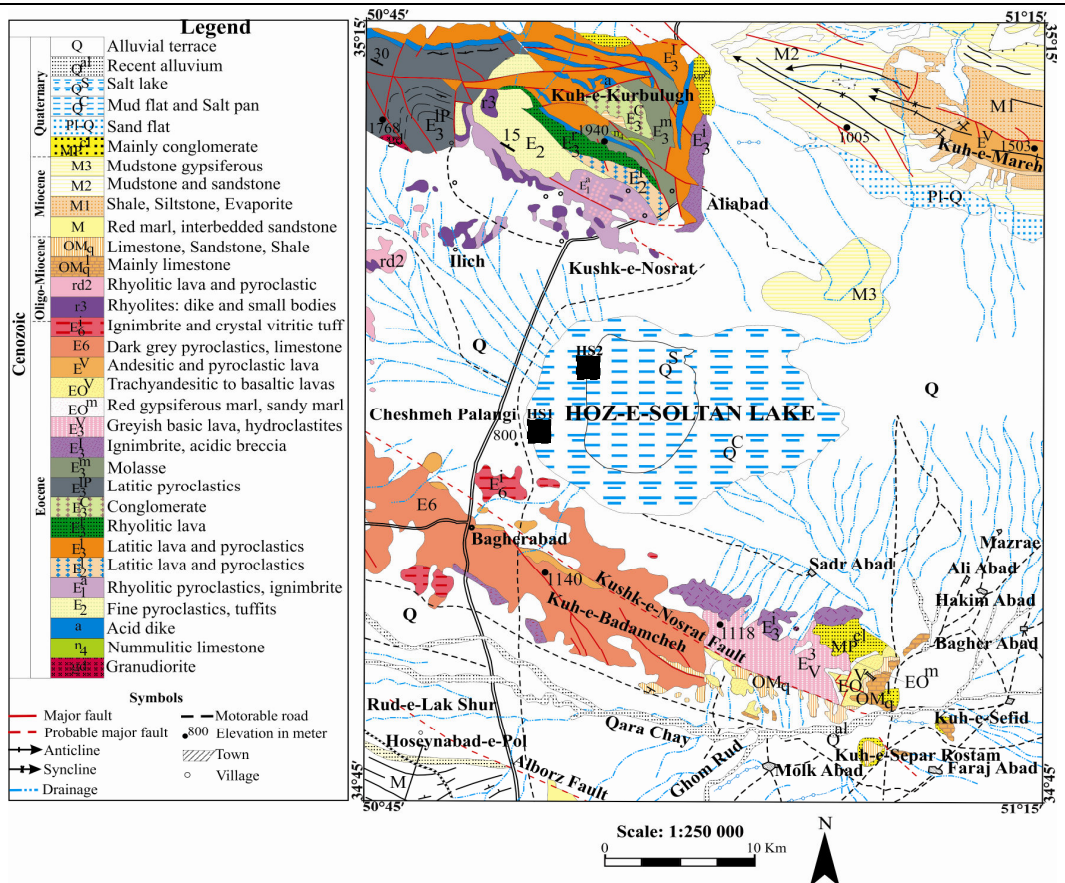
مواد و روش‌ها

در این پژوهش، تعداد ۹ مغزه از بخش‌های مختلف دریاچه تا عمق بیشینه ۷ متر توسط مغزه‌گیر دستی با قطر ۵ سانتی‌متر گرفته شد. شکل ۱، موقعیت محل مغزه‌های ارائه شده در این پژوهش را نشان می‌دهد. از مغزه‌های به

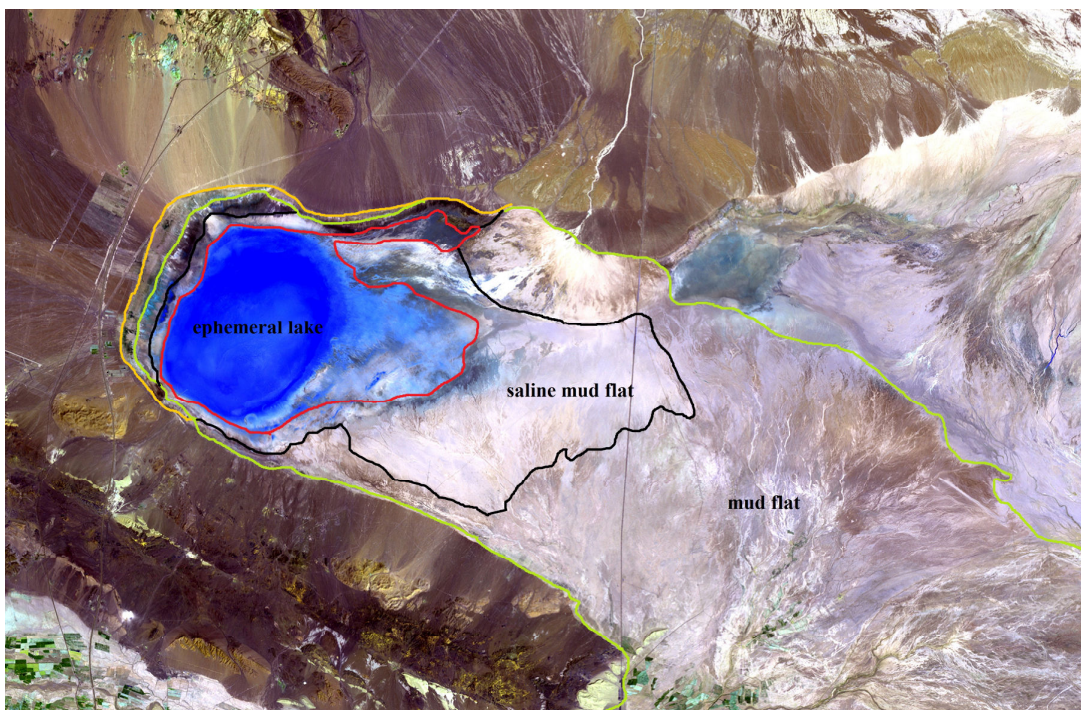
ضخامت قشر نمک تقریباً ۵ سانتیمتر است (شکل ۳).^۵ متدالول ترین عارضه موجود در این پهنه، سطوح گل‌کلمی است که بخش عمده پهنه نمکی را می‌پوشاند (شکل ۳).^۵ سطح ایستابی شورابه زیرزمینی در پوسته نمکی پلایا در موقع آب و هوای خشک و عادی معمولاً در عمق ۱۰ تا ۳۰ سانتیمتری سطح پوسته نمک قرار گرفته ولی در موقع پریاران و شارژ غیر عادی، سطح آب بالا آمده و در بعضی از مناطق پلایا تشکیل دریاچه‌های کم عمق فصلی را می‌دهند. رسوبات مربوط به دریاچه موقتی، شامل تنابو سیکل‌های تبخیری-آواری و غالباً تبخیری است (شکل ۳) و.

توصیف مغزه‌های گرفته شده از دریاچه حوض سلطان
به دلیل تعداد زیاد مغزه‌های تهیه شده از بستر دریاچه (۹ مغزه) و به منظور تعیین چرخه‌رسوی و دوره‌های خشک-سالی و تراسالی، در ذیل به توصیف صرفاً رخساره‌ها و زیرمحیط‌های رسوبی ۲ مغزه به شماره HS2 و HS1 با عمق بیشینه ۷ متر پرداخته می‌شود. علت انتخاب دوره پرآبی جهت مغزه‌گیری این است که قشر ضخیم نمک ته-نشست یافته طی دوره خشک، در دوره پرآبی در اغلب نواحی دریاچه حل می‌گردد و در نتیجه مغزه‌گیری، میسر و تمام طول مغزه برای مطالعه مفید است. بررسی مغزه‌های گرفته شده از دریاچه حوض سلطان واحدهای مختلفی را نشان می‌دهد که مشخصات کلی آن در جدول ۱ مشاهده می‌گردد. ضخامت هر واحد از یک مغزه به مغزه دیگر در سرتاسر دریاچه متفاوت است. علت را می‌توان به تغییرات سریع نرخ رسوبگذاری در زیرمحیط‌های رسوبی و نوع رسوبات هر زیرمحیط نسبت داد. لازم به ذکر است که این توصیف‌ها براساس شواهد صحرایی در حین نمونه-برداری، نتایج دانه‌بندی و کانی‌شناسی، ویژگی‌های ساختاری و دیاژنتیکی و با توجه به تغییرات قابل مشاهده در حین نمونه‌برداری ارائه می‌شود. قابل ذکر است که کانی‌های تشکیل دهنده رسوبات دریاچه حوض سلطان متشكل از کانی‌های آواری شامل کوارتز، فلنسپات، کانی‌های رسی، میکا، مگنتیت، هماتیت، آمفیبول، آناتاز، زئولیت و پیروکسن، کانی‌های کربناته شامل کلسیت و به ندرت آرگونیت می‌باشد. نمونه‌ای از گراف XRD این کانی‌ها در شکل ۴ نشان داده شده است.

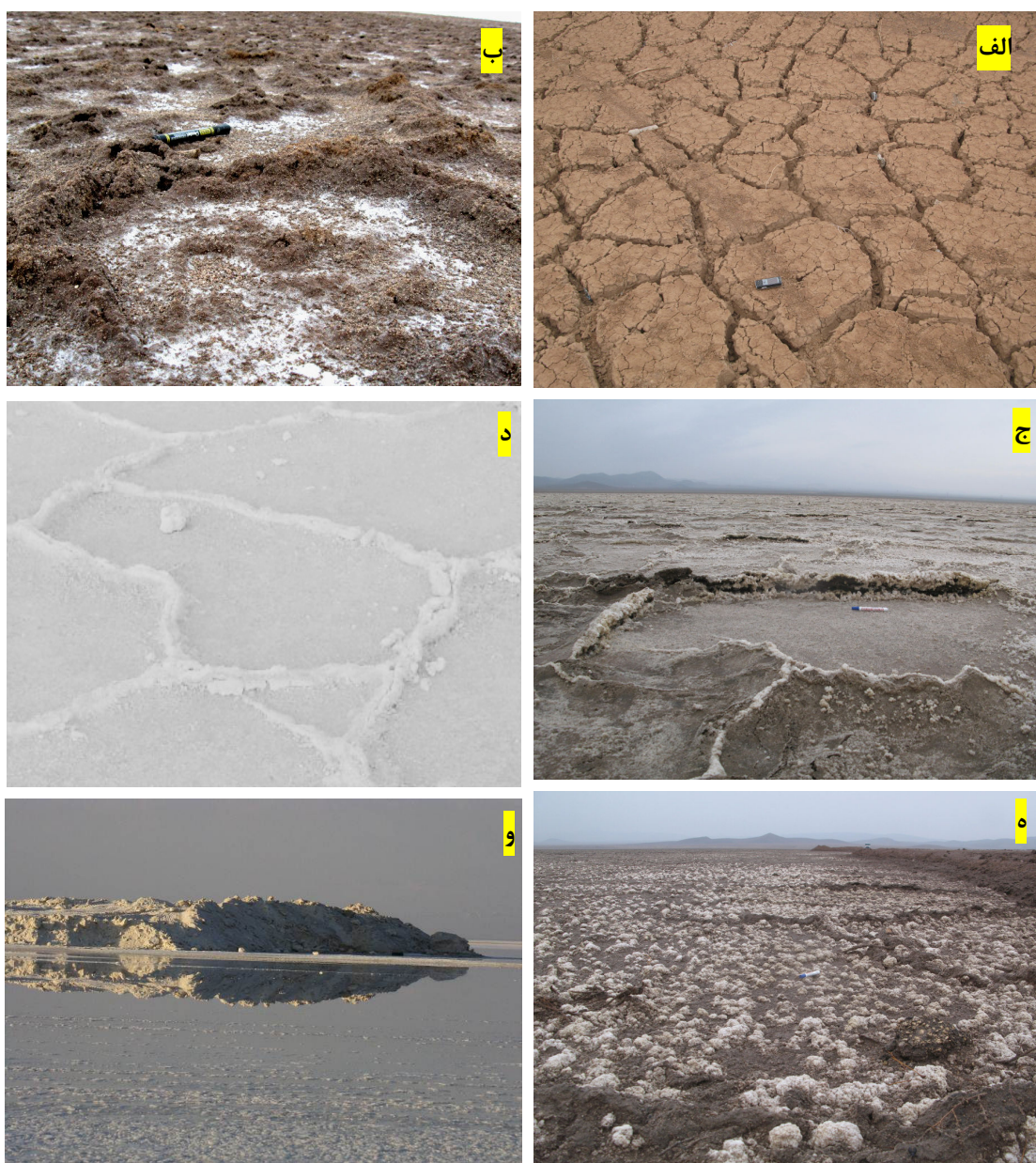
از بلورهای دیسکی شکل و یوهدرال ژیپس به رنگ‌های خاکستری متمایل به قهوه‌ای و سفید می‌باشد. پهنه‌گلی، ترکیبی از رسوبات بسیار ریز، سیلت، رس، بلورهای ژیپس و هالیت همراه با ساختمان‌های رسوبی از قبیل ترک‌های گلی و توده‌های ماسه‌ای بادی می‌باشد. پهنه‌گلی توسط شورابه اشباع نمی‌شود و معمولاً در معرض خشکشدنی قرار دارد. این پهنه توسط ترک‌های گلی چندوجهی و قشرهای نمکی نازک قهوه‌ای رنگ مشخص می‌گردد (شکل الف).^۳ پهنه گلی نمکی، که در حاشیه دریاچه موقت تشکیل می‌شود شامل یک سطح نرم، خشک و گل‌کلمی شکل می‌باشد (شکل ۳ ب). این شرایط، در سطح دریاچه از تبخیر شورابه‌های موجود در لوله‌های مویینگی و ته نشست درون رسوبی سریع تبخیری‌ها حاصل شده‌اند [۱۶ و ۲۹]. در پهنه گلی نمکی، به دلیل تغليظ و ته نشست آب شورابه طی دوره‌های تکراری خشکشدنی دریاچه و رشد بلورهای ژیپس و هالیت در داخل رسوبات همی‌ساختارهای رسوبی از بین می‌روند. رسوبات پهنه گلی نمکی، ترکیبی از سیلت رسی همراه با کانی‌های تبخیری است و معمولاً به رنگ قرمز قهوه‌ای و یا سیاه دیده می‌شود. سیلت رسی همراه با توده‌های ماسه‌ای و لایه‌های نمکی به عنوان ته‌نشسته‌های پهنه گلی نمکی تفسیر می‌شود. عدم وجود ترک‌های گلی در این پهنه بیانگر آن است که تراز آب نزدیک به سطح است و پهنه گلی نمکی حاوی شورابه اشباع شده می‌باشد. تی‌پی، ساختمان رسوبی شاخص در پهنه گلی نمکی است که به صورت سطوح چندوجهی ناشی از ترک‌های گلی به رنگ خاکستری و نفوذ شورابه در اثر خاصیت مویینگی در بین ترک‌های آن می‌باشد که به صورت کانی‌های تبخیری عمدتاً هالیت و به رنگ سفید دیده می‌شود. قطر چندوجهی‌ها تقریباً ۶ متر است، اما در حاشیه جنوب شرق دریاچه قطر بیش از ۵۰ متر هم گزارش شده است [۱۸] (شکل ۳ ج). پهنه نمکی، شامل مناطقی است که معمولاً خشک هستند و توسط رسوبات و نمک پوشیده شده‌اند (عمدتاً متشكل از یک لایه کلورسیدیم است). پهنه نمکی و دریاچه موقت براساس دوره‌های خشک و تر به یکدیگر تبدیل می‌شوند. بخش مرکزی پلایا پوششی از قشرهای نمک تبلور یافته با لایه‌بندی ضعیف و شفاف است که تقریباً ۲۴ درصد سطح پلایا را دربر می‌گیرد [۱۸].



شکل ۱- نقشه زمین‌شناسی حاشیه دریاچه حوض سلطان (مزاییک شده با اندکی تغییرات از منابع ۲ تا ۴، مربع‌های توپر جایگاه مغزه‌ها را نشان می‌دهند)



شکل ۲- تفکیک زیرمحیط‌های رسوی دریاچه حوض سلطان (عکس مربوط به دوره پرآبی) (LANDSAT, 2004).



شکل ۳- (الف) ترک‌های گلی چندوجهی (با قطر ۱۵ سانتیمتر) موجود در پهنه گلی دریاچه حوض سلطان، (ب) سطح نرم، خشک و گل‌کلمی شکل در پهنه گلی نمکی دریاچه نمک، (ج) قشر هالیت در حال تشکیل در سطح ترک‌ها طی خشکشدن شورابه در اثر تبخیر در پهنه گلی نمکی، (د) سطوح چندوجهی در پهنه نمکی در دریاچه حوض سلطان، (ه) سطوح گل کلمی موجود در پهنه نمکی دریاچه حوض سلطان، و (ن) نمایی از زیرمحیط دریاچه موقت دریاچه نمک حوض سلطان

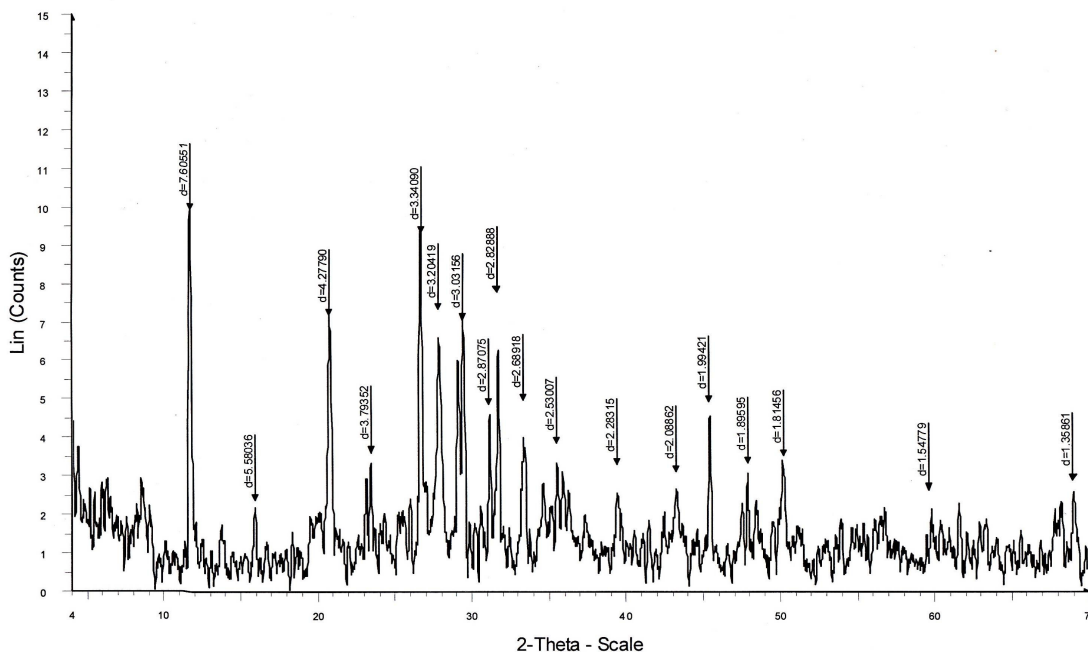
نظرگرفتن نوع رخساره ممکن نمی‌باشد. بر همین اساس، نوسان تراز آب دریاچه و نوع زیرمحیط رسوبی به عنوان معیار اصلی جهت تطابق چینه‌ای مغزه‌ها در نظر گرفته شد. همانطور که در شکل ۶ دیده می‌شود همزمان با افزایش یا کاهش تراز آب دریاچه در دو مغزه HS2 و HS1 می‌توان رخساره‌ها را با یکدیگر تطابق داد.

تطابق چینه‌ای مغزه‌ها

نظر به اینکه در محیط‌های رسوبی تبخیری و پلایاپی در وسعت کوچکی زیرمحیط‌های رسوبی و رخساره‌ها تغییرات زیادی می‌نمایند و بسته به اینکه مغزه تهیه شده مربوط به کدام زیرمحیط رسوبی (کفه گلی، نمکی، گلی نمکی و دریاچه موقت) می‌باشد رخساره و لیتلولوزی آن متفاوت خواهد بود. لذا، تطابق چینه‌ای صرفاً با در

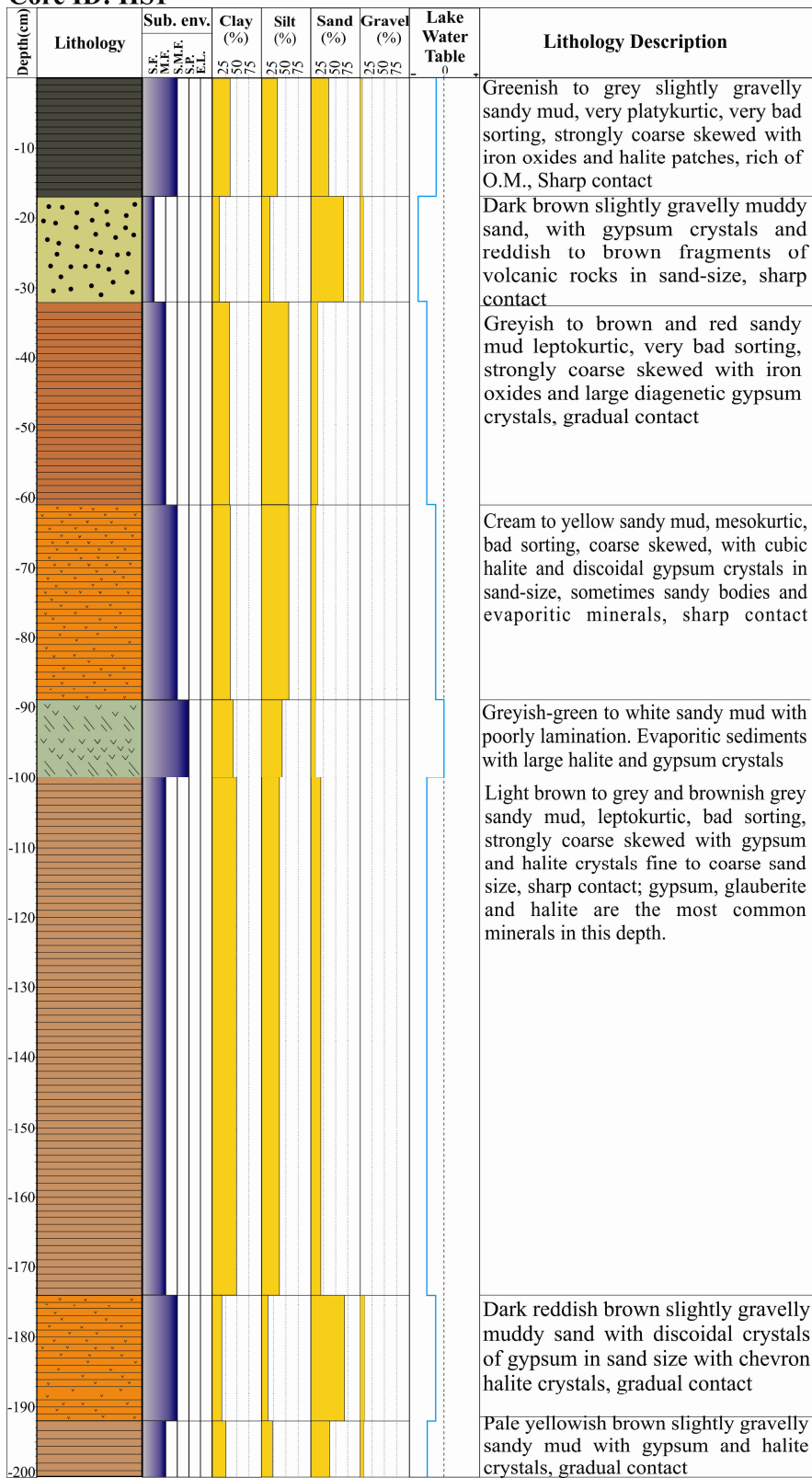
جدول ۱- مشخصات کلی مغزه‌های گرفته شده از دریاچه حوض سلطان

HS1	HS2	شماره مغزه
۳۴° ۵۹' ۴۹"	۳۵° ۰۲' ۴۰"	طول جغرافیایی
۵۰° ۵۳' ۱۹"	۵۰° ۵۵' ۴۰"	عرض جغرافیایی
۳۰۰	۲۴۲	طول مغزه (سانتیمتر)
گل ماسه‌ای و گل ماسه‌ای با کمی گراول	گل ماسه‌ای با کمی گراول، ماسه گلی با کمی گراول و گل ماسه‌ای	تیپ رسو
دریاچه موقت، پهنه ماسه‌ای، پهنه گلی، پهنه گلی نمکی، پهنه نمکی، پهنه گلی، دریاچه موقت، تناوب پهنه نمکی، گلی و پهنه گلی نمکی، پهنه گلی و پهنه نمکی، پهنه ماسه‌ای	پهنه نمکی، دریاچه موقت، پهنه MASه‌ای، تناوب پهنه گلی و پهنه نمکی، دریاچه موقت، تناوب پهنه گلی و پهنه گلی نمکی، پهنه ماسه‌ای	انواع زیرمحیط‌های رسوی از سطح به عمق
پهنه گلی	پهنه گلی نمکی	زیرمحیط‌های رسوی کنونی مغزه برداری شده
کوارتز، زیپس، کلسیت، فلدوپات، کانی‌های رسی در مقادیر کم	کوارتز، زیپس، کلسیت، هالیت و کانی‌های رسی در مقادیر کم	کانی‌های مشاهده شده



شکل ۴- نمونه‌ای از نمودار XRD کانی‌های بررسی شده در منطقه مطالعه (مغزه HS1، عمق ۳۵۰ سانتیمتری)

Core ID: HS1

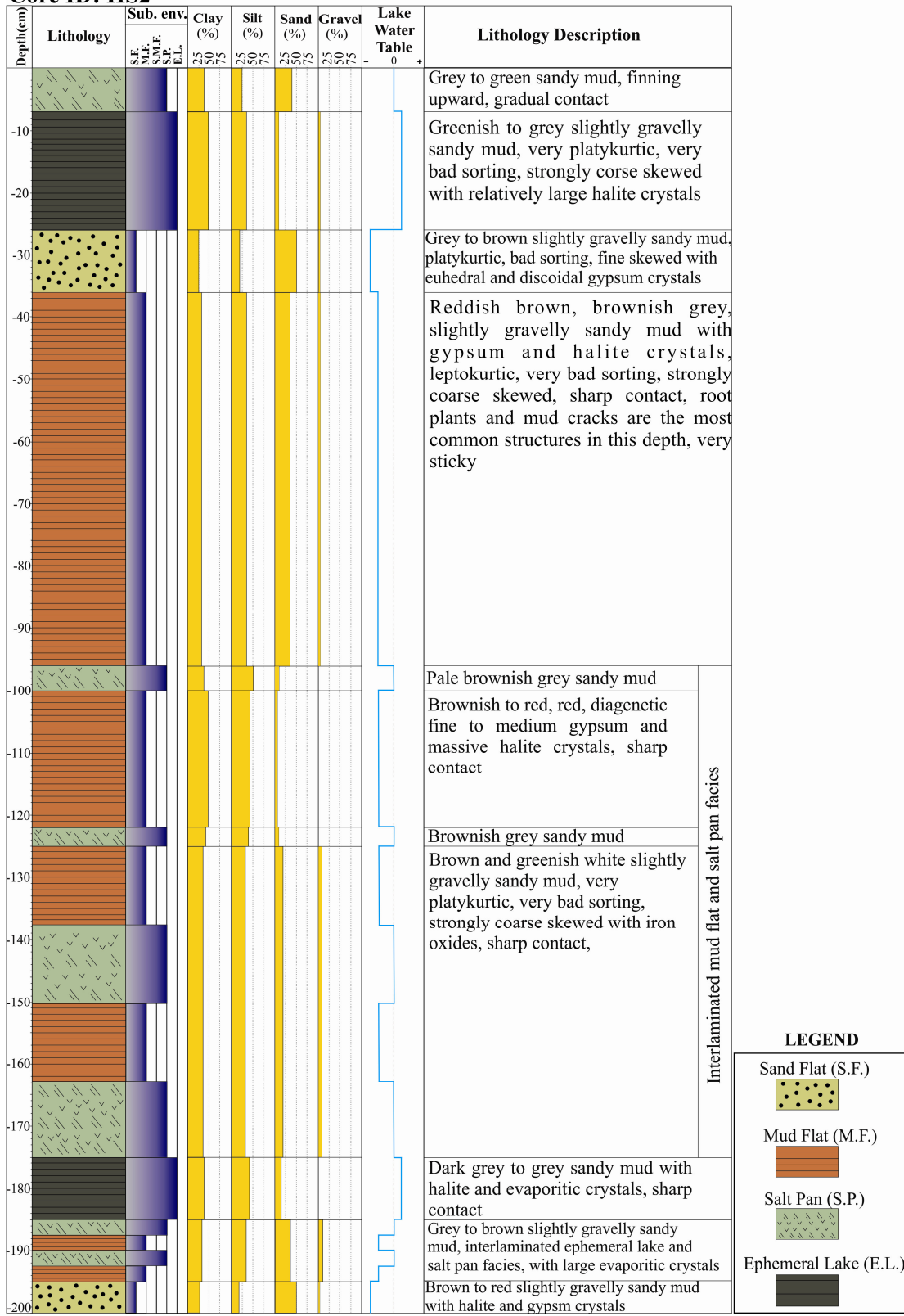


LEGEND

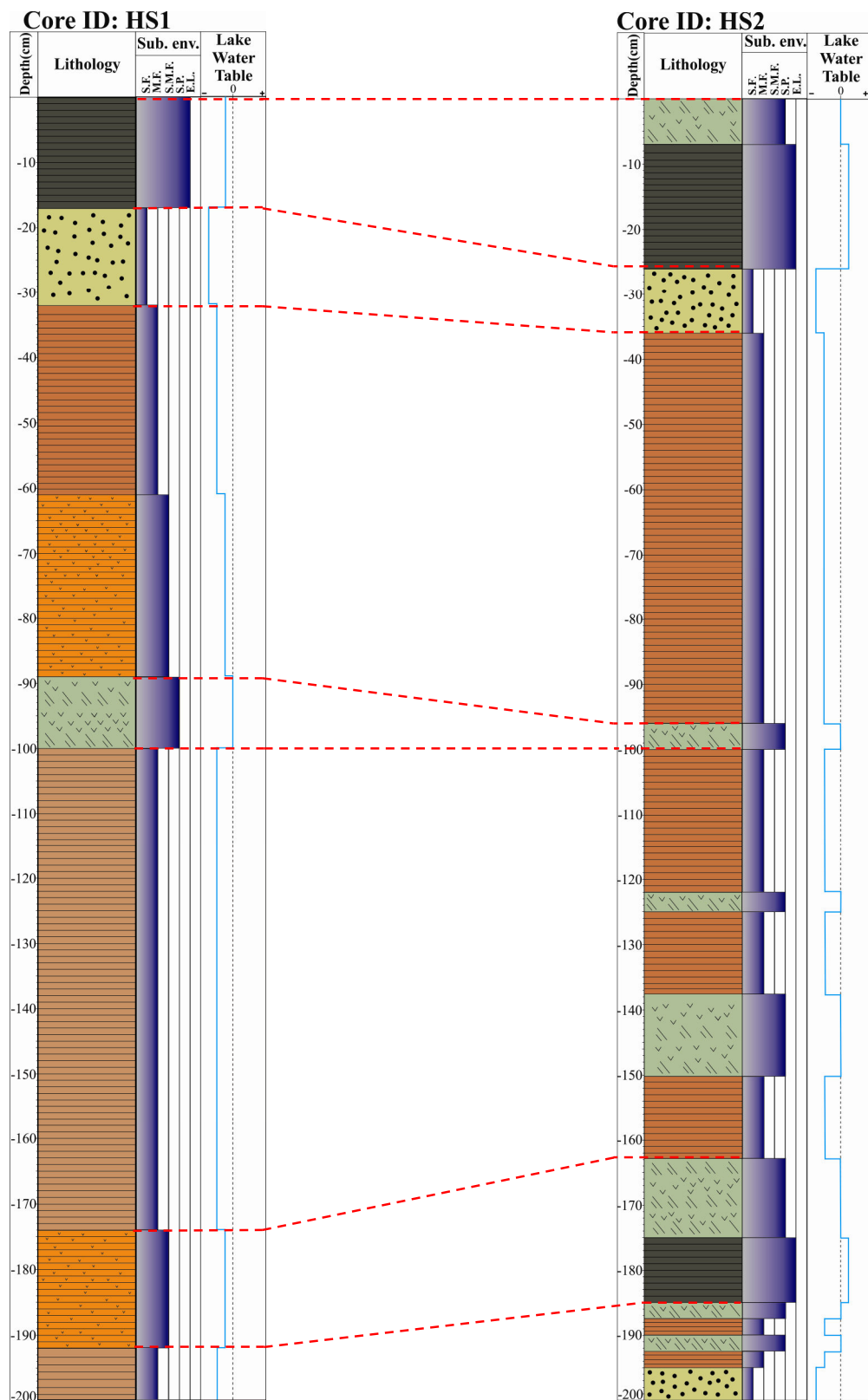
Saline Mud Flat (S.M.F.)	
Sand Flat (S.F.)	
Mud Flat (M.F.)	
Salt Pan (S.P.)	

شکل ۵- ستون چینه‌شناسی، زیرمحیط رسوی، دانه‌بندی، نوسان تراز آب دریاچه و توصیف کلی مغزه HS1

Core ID: HS2



شکل ۶- ستون چینه‌شناسی، زیرمحیط رسوی، دانه‌بندی، نوسان تراز آب دریاچه و توصیف کلی مغزه



شکل ۷- تطابق چینه‌ای مغزه‌های HS1 و HS2 (راهنمای علائم، مطابق شکل ۱۱ و ۱۰).

گراول، ماسه گلی با کمی گراول، گل، گل ماسه‌ای، ماسه گلی می‌باشد، لذا، اندازه ذرات سیلت و رس (گل) بیشترین درصد رسوبات را در بر می‌گیرد.

با توجه به اینکه مغزه ۴ نسبت به مغزه ۲ در بخش‌های داخلی‌تر دریاچه قرار گرفته است، لذا، این مغزه برای تعیین دوره‌های خشکسالی‌های عمدۀ که بخش‌های داخلی‌تر را تحت تاثیر قرار داده است مناسب‌تر می‌باشد. بر همین اساس، ۶ دوره خشکسالی در عمق‌های مختلف به شرح ذیل از سطح تا عمق ۲ متر دریاچه را متاثر نموده است.

کانی‌های تشکیل‌دهنده رسوبات دریاچه حوض‌سلطان متشکل از کانی‌های آواری شامل کوارتز، فلذیات، کانی‌های رسی، میکا، مگنتیت، هماتیت، آمفیبول، آناتاز، زئولیت و پیروکسن، کانی‌های کربناته شامل کلسیت و به ندرت آراغونیت می‌باشد.

نتایج کانی‌شناسی بیانگر آن است که بیشترین فراوانی در زیرمحیط‌های رسوبی پهنه گلی نمکی و پهنه گلی به کانی کوارتز و کلسیت، در پهنه نمکی و دریاچه موقت به کانی‌های تبخیری به ویژه هالیت و ژیپس تعلق دارد. رسوبات مربوط به پهنه گلی عموماً به رنگ قرمز قهوه‌ای، پهنه گلی نمکی به رنگ قرمز و زرد حاوی بلورهای درشت ژیپس دیازنتیکی، پهنه نمکی به رنگ سفید، سبز و خاکستری و دریاچه موقت به رنگ خاکستری روشن تا تیره می‌باشد.

تشکر و قدردانی

از مسئولین محترم سازمان زمین‌شناسی و اکتشافاتمعدنی کشور که در به ثمر رسیدن این مقاله در تمام مراحل اجرایی و حمایت مالی پروره با عنوان "بررسی‌های لیمنولوژی دریاچه حوض سلطان" ما را یاری نمودند، کمال تشکر را داریم.

دیرینه‌های دریاچه

پس از بررسی مغزه‌ها، تعیین رخساره‌ها، ویژگی‌های رسوبی و اخذ نتایج آزمایشگاهی اطلاعات لاغ هر مغزه به صورت مجزا تهیه گردید و پس از تعیین رخساره و زیرمحیط رسوبی، نوسان تراز آب دریاچه از گذشته تا کنون ترسیم گردید. نظر به اینکه، امکان سنجی به روش کربن ۱۴ میسر نگردیده است، لذا، کلیه تفسیرها و تعیین دوره‌های خشکسالی و تراسالی بر اساس عمق لایه‌ها صورت گرفته است. در تفسیر دیرینه‌های دریاچه حوض‌سلطان مطالب ذیل به عنوان اصول اولیه در نظر گرفته شده است [۹، ۲۶، ۱۹]:

- ۱- لایه‌های قرمزنگ، متعلق به زیرمحیط رسوبی کفه گلی و مربوط به دوره‌های خشکسالی عمدۀ است.
- ۲- لایه‌های خاکستری و سبزرنگ متعلق به زیرمحیط رسوبی دریاچه موقت و مربوط به دوره‌های پرآبی است. با توجه به اینکه مغزه ۴ نسبت به مغزه ۲ در بخش‌های داخلی‌تر دریاچه قرار گرفته است، لذا، این مغزه برای تعیین دوره‌های خشکسالی‌های عمدۀ که بخش‌های داخلی‌تر را تحت تاثیر قرار داده است مناسب‌تر می‌باشد. بر همین اساس، ۶ دوره خشکسالی در عمق‌های مختلف به شرح ذیل از سطح تا عمق ۲ متر دریاچه را متاثر نموده است:

• ۳۶-۹۶ متری	•
• ۱۰۰-۱۲۳ متری	•
• ۱۲۶-۱۳۷ متری	•
• ۱۵۰-۱۶۳ متری	•
• ۱۸۷-۱۹۰ متری	•
• ۱۹۳-۱۹۶ متری	•

نتیجه‌گیری

مطالعات انجام‌شده در خصوص رسوب‌شناسی و دیرینه‌ایلیم دریاچه حوض‌سلطان حاکی از آن است که ۵ زیرمحیط رسوبی شامل پهنه ماسه‌ای، پهنه گلی، پهنه گلی نمکی، پهنه نمکی و دریاچه موقت در این دریاچه تشخیص داده شده است. ضخامت پهنه گلی و گلی‌نمکی، در بخش غربی دریاچه به دلیل نزدیکی به ارتفاعات کمتر از بخش شرقی آن می‌باشد. همچنین، نوع رسوبات این دریاچه از نظر اندازه، ۵ تیپ شامل گل ماسه‌ای با کمی

- منابع
- [12] Fayazi, F (1991) "Sedimentological studies in the Qom area, Central Iran", University of East Anglia, UK, 324p. (Unpublished Thesis).
- [13] Folk, R. L., Andrews, P. B., and Lewis, D. W (1970) "Detrital sedimentary rock classification and nomenclature for use in New Zealand", New Zealand Journal of Geology and Geophysics, 13, 937-68.
- [14] Gierlowski-Kordesch, E., and Kelts, K (1994) "Global Geological Record of Lake Basins", Cambridge University Press., 427 p.
- [15] Gierlowski-Kordesch, E., and Kelts, K., (2000) "Lake Basins through Space and Time" AAPG Studies in Geology, 46, 648 p.
- [16] Hardie, I. A., Smoot, J. P., and Eugster, H. P (1978) "Saline lakes and their deposits: A sedimentological approach", In: Matter, A., Tucker, M.E. (Eds.), Modern and Ancient Lake Sediments. In Blackwell Scientific Publications, Oxford, 7-41.
- [17] Hardie, L.A., and Eugster, H.P., (1978), Saline lakes. In: A. Lerman (Ed.), Lakes Chemistry, Geology, Physic.. New York, NY, Springer-Verlag., 230 p.
- [18] Krinsley, D. B (1970) "A geomorphological and paleoclimatological study of the playa of Iran" U.S. Government Printing Office Washington D.C., 20, 402.
- [19] Lak, R., Fayazi, F., and Nakhaei. M (2007) Sedimentological evidences of a major drought in the Mid - Late Holocene of the Lake Maharlou, SW Iran, 4th International Limnogeology Congress, Abstract book.
- [20] Last, W. M., and Vance, R. E (1997) "Bedding characteristics of Holocene sediments from salt lakes of the northern Great Plains, Western Canada", Journal of Paleolimnology, 17, 297-310.
- [21] Li, J., Lowenstein, T.K., Brown, C.B., Ku, T.L., and Luo, S (1996) A ¹⁰⁰Ka record of water tables and paleoclimates from salt cores, Death Valley, California, Paleogeography, Paleoclimatology, Paleoecology, 123, 179-203.
- [1] آقانباتی، س. ع (۱۳۸۳) زمین‌شناسی ایران، انتشارات سازمان زمین‌شناسی و اکتشافات معدنی کشور، ۵۸۶ ص.
- [2] امینی، ب.، و امامی، ح (۱۹۹۶) نقشه زمین‌شناسی آران (مقیاس ۱:۲۵۰۰۰۰)، سازمان زمین‌شناسی و اکتشافات معدنی کشور.
- [3] حاجیان، ج (۱۹۹۶) نقشه زمین‌شناسی قم (مقیاس ۱:۲۵۰۰۰۰)، سازمان زمین‌شناسی و اکتشافات معدنی کشور.
- [4] حقی پور، ع (۱۳۶۵) نقشه زمین‌شناسی تهران (مقیاس ۱:۲۵۰۰۰۰)، سازمان زمین‌شناسی و اکتشافات معدنی کشور.
- [5] قلمقاش، ج (۲۰۰۰) نقشه زمین‌شناسی ساوه (مقیاس ۱:۲۵۰۰۰۰)، سازمان زمین‌شناسی و اکتشافات معدنی کشور.
- [6] لک، ر (۱۳۸۶) بررسی رسوب‌شناسی، هیدرولوژی و روند تکامل شورابه دریاچه مهارلو، پایان‌نامه دکتری، دانشگاه تربیت معلم.
- [7] Blazevic, M. A., Kirby, M.E., Woods, A.D., Browne, B.L., and Bowman, D. D (2009) A sedimentary facies model for glacial-age sediments in Baldwin Lake, Southern California. Sedimentary Geology, 219, 151-168.
- [8] Briere, R. G (2000) "Playa, playa lake, sabkha: proposed definitions for old terms", Journal of Arid Environments, 45, 1-7.
- [9] Cohen, A.S (2003) Paleolimnology: The history and evolution of lake systems, Oxford university press, 500 p.
- [10] Dearing, J. A (1997) "Sedimentary indicators of lake-level changes in the humid temperate zone: A critical review", Journal of Paleolimnology, 18, 1-14.
- [11] Enzel, Y., Wells, S.G., and Lancaster, N (2003) "Late Pleistocene lakes along the Mojave River, southeast California", In: Enzel, Y., Wells, S.G., and Lancaster, N. (Eds.), Paleoenvironments and Paleohydrology of the Mojave and Southern Great Basin Deserts. Boulder, CO: Geological Society of America Special Paper 368, 61-77.

- [22] Lowenstein, T. K., Li, J., Brown, C., Roberts, S.M., Ku, T.L., Luo, S., and Yang, W (1999) "200 k.y. paleoclimate record from Death Valley salt core", *Sedimentary Geology*, 27, 3–6.
- [23] Neal, J.T (1965) *Geology, Mineralogy and hydrology of U.S. playas United State Air Force, Cambridge Research Laboratory Environment Research Paper*, 104 p.
- [24] Rosen, M. R (1994) "The Importance of Groundwater in Playas: A Review of Playa Classifications and the Sedimentology and Hydrology of Playas. Palaeoclimate and Basin Evolution of Playa Systems", *Geological Society of America, Special Paper* 289, 1–18.
- [25] Shaw, P. and Thomas, D. S. G (1989) "Playas, pans and salt lakes", *Journal of Arid environments*, 184–205.
- [26] Sinha, R., Smykatz-Kloss, W., Stuben, Harrison, S.P., Berner, Z., and Kramar, U (2006) Late Quaternary paleoclimatic reconstruction from the lacustrine sediments of the Sambhar playa core, That Desert margin, India, *Paleogeography, Paleoclimatology, Paleoecology.*, 233, 252-270.
- [27] Smoot, J. P., and Lowenstein, T. K (1991) "Depositional environments of non-marine evaporates", In: Melvin, J.L. (Ed.), *Evaporites, Petroleum and Mineral Resources*. Elsevier Science Publishing Company Inc., Amsterdam, Netherlands, 189–309.
- [28] Tiercelin, J. J (2002) "Preface". *Sedimentary Geology*, 148, 3–8.
- [29] Valero-Garcés, B. L., Delgado Huertas, A., Navs, J. M., Gonzalez-Samperisz, P., and Kelt, K (2000) Quaternary paleohydrological evolution of a playa lake: Salada Mediana, Central Ebro Basin, Spain, *Sedimentology*, 47, 1135-1156.